

圧縮性・高い地盤にかける非排水挙動の予測

名古屋大 松尾 篤 名古屋大 鈴木 章裕
名古屋大・川村国夫 熊谷組 並木 茂彦

1. まえがき： 本報告は、圧縮性・高い地盤の非排水挙動に注目し、過去の盛土施工を行なった現場観測例とDuncan-Chang らに基づく有限要素法(以下F.E.M.)による計算例とを比較検討したものである。また、解析の中では通用工場初期接線係数についても若干の考察を行なわれている。

2. 非線型応力～ひずみ関係を考慮した有限要素法： 今回の非線型応力～ひずみ関係を考慮したF.E.M.では上記Duncan-Chang の方法によるイソヤラメトリック要素を用いている。すなわち、各応力レベルの接線弾性係数 E_{50} は、次式(1)で評価される。

$$E_{50} = \left\{ 1 - \frac{R_f(1-\sin\phi)(\sigma_i - \sigma_s)}{(2cc\cos\phi + 2\sigma_s \sin\phi)} \right\} \cdot K \cdot pa \cdot \left(\frac{\sigma_i}{pa} \right)^n \quad (1)$$

ここで、 pa は大気圧、 K 、 n は定数である。一方、計算に必要な他の変形係数 α_i (ボアソン比)は非排水挙動公算とし、近似的に 0.5 としている。

3. 初期接線係数 E_{50} についての考察： 今回の解析目的の一つは、一軸圧縮試験から求められた初期接線係数 E_{50} による解析結果と、この E_{50} と三軸圧縮試験の初期接線係数 E_{50} を推定して行なわれた解析結果を比較検討することである。 E_{50} 、 E_{50} の検討は過去にLadd やSimone らによって行われた。

Ladd らは、いろいろな試験法より求められた各種粘性土の接線係数の関係で各応力レベルごとの比較検討を行なっている。それによれば、三軸等方圧密非排水試験(CI U)による $\frac{E_{50}}{E_{50}}$ は三軸非圧密非排水試験(UU)によると $\frac{E_{50}}{E_{50}}$ の約 5～6 倍であり、さらに一軸圧縮試験(T)によると $\frac{E_{50}}{E_{50}}$ の 11±4 倍となることを発表している。一方、ここで E_{50} とは破壊時の応力比 0.5 の応力レベルごとに求めた初期接線係数であり、 σ_i は圧密圧力、 σ'_0 は現場垂直有効応力である。一方、Simone らはルウェー粘土について後者の関係が約 10 倍程度となることを報告している。さらに、 E_{50} が施工・物理的・力学的性質に依存するところが予想されるが、D'Appolonia は各種粘性土の E_{50} と非排水せん断強度 C_u と $\frac{E_{50}}{C_u}$ とくに物理的性質との関係を調べていて、

その結果、 $\frac{E_{50}}{C_u}$ はくに塑性指數 I_p と有機質含有量 w_o に大きく影響され、 I_p が大きくなるほど、 $\frac{E_{50}}{C_u}$ が小さくなる傾向を示した。図 1 は Ladd の研究成果をもとに試験法により求めた E_{50} の関連をまとめたものである。横軸に E_{50} を求めたときの、原点と結ぶ応力レベルと破壊応力の比 $(\sigma_i - \sigma_s)/(\sigma_i - \sigma'_0)$ をとり、縦軸に CI U による $\frac{E_{50}}{E_{50}}$ と UU による $\frac{E_{50}}{E_{50}}$ の比、および T による $\frac{E_{50}}{E_{50}}$ の比がどちらかである。なお、CI U による $\frac{E_{50}}{E_{50}}$ は同一粘土について $\sigma'_0 \geq \sigma_s$ の条件であればあまり変化しないことが確認されている。図 1 によれば $(\sigma_i - \sigma_s)/(\sigma_i - \sigma'_0)$ が近づくにつれて接線係数の比はともに増加する傾向があり、くくに応力比

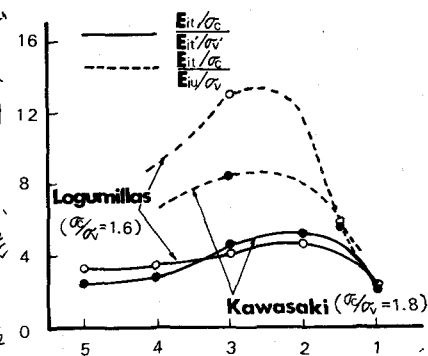


Fig. 1 Tangentmodulus ratio versus $(\sigma_i - \sigma_s)/(\sigma_i - \sigma'_0)$ for variable compression test

2のビード時式(2) $\frac{E_{10}^u}{E_{10}^u + E_{10}^s}$ は 5~6 倍、 $\frac{E_{10}^u}{E_{10}^u + E_{10}^s}$ は 8~14 倍となる。Duncan-Cheng によると、2 次剪断 SIF は $E_{10}^u \times \frac{(c_0 - c_s)}{(c_0 - c_u)}$ でありて大きさの値をとるときの接線係数を考へられる。今回、 $\frac{(c_0 - c_s)}{(c_0 - c_u)} > 5$ の範囲があり大きく変化しないとすれば、解析に代して E_{10}^u / c_0 と E_{10}^u / c_0 の関係は

$$E_{10}^u / c_0 = 6.0 \quad E_{10}^u / c_0 \quad (2)$$

と予想されるので、以後の計算は式(2)に基づいて計算された。

4. 現場観測結果と解析結果の比較検討： 札幌市郊外にあり月寒川盛土基礎地盤は、事前調査によれば地表面下約 6.0 m まで泥炭が占めらる。地盤のコーン指数 $q_c = 1.0 \text{ kg/cm}^2$ 、自然含水比 $W_n = 100\%$ 以上、強熱減量率 95%、湿潤密度 1.7 g/cm^3 、および比重 $G_s = 1.4$ と泥炭の特徴を備えており、しかも圧縮指數 $C_c = 8$ 、初期間隙比 $c_0 = 1.2 \sim 1.5$ とせめて圧縮性が高、軟弱地盤である。盛土の初期計画高は 3.5 m とされ、施工速度は試験盛土ヒックシで 0.3 m ~ 0.6 m とせめて大きな施工速度であった。一方、盛土材料は砂質ローム工場内の密度 1.5 t/m^3 で盛土が行われた。月寒川盛土の非排水挙動は、算定式(2)にて Duncan-Cheng の非線形弾性解析 F.E.M. によると解析された。そこで初期接線係数 $E_{10}^u / c_0 = 25$ を推定された。レドボット、 E_{10}^u / c_0 式(2)の関係を用い、 $S_i = 50$ とすると $E_{10}^u / c_0 = 150$ として決定されたであろう。一方、泥炭の C_u は過去の軟弱地盤の調査結果をもとに、 $C_u = 1.0 \text{ kg}$ を使用し、 $C_u = 1.0 \text{ kg}$ の値が採用された。一方、現場で正確な地盤状態とみなすことにより先行圧密荷重 S_i による初期垂直有効応力となり、初期静止土圧係数 K_0 は 1 とした。さらに地表面下深さ 6 m 以上の地盤では $q_c > 6 \text{ kg/cm}^2$ の固いシルト層になり解析の対象に入らない。計算の結果、局部破壊の進行状況は盛土中央部下付近からノリ床付近に向かうことが確認され、Höeg 和 D'Appomis の現場調査で水压から推定した状況とはほぼ一致するものであつた。図 2 は、盛土中央部下の地下水量 d 、ノリ床付近の側面変位量 δ 、および中央下部深さの間げき水压などを計算し、現場データと比較したものである。体積崩壊後接線係数は $1/1000 E_{10}^u$ で評価された。図 2 の d の実測値の方が E_{10}^u 、 E_{10}^s とすれども使用して計算結果よりも大きいことを示す。一方、 δ の実測値は常に中间値のあたり d と傾向を異にする。軟弱地盤に万が一の間げき水压が推定されて、Skempton, Burland, Höeg-Hankel らによるもの提業式にて、計算してある。今回は、Burland らが、平面ひずみ条件下で荷重増加によって発生する主応力増加分 $\Delta \sigma_1$ 、 $\Delta \sigma_3$ を計算し、次式(3)から間げき水压 Δu を推定してあることにして置いた。

$$\Delta u = \frac{\Delta \sigma_1 + \Delta \sigma_3}{2} \quad (3)$$

式(3)の方法で算出された結果が図 2 に同時に示されている。各荷重段階での応力増分より計算された結果に従えば、地表面から相対的に深くなるところでは実測値と計算値がほぼ一致しているの、地表面近くになると計算値が最大で 1 m^2 ほど実測値と逆の傾向を呈する。

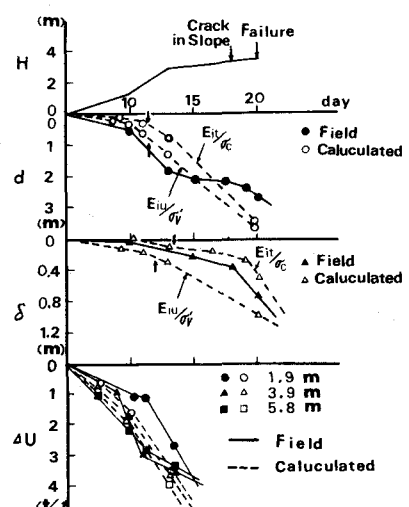


Fig. 2 Comparison of field data and calculated results for settlement (d), pore pressure (Δu) below centerline of embankment and lateral movement (δ) below toe of embankment at Tsukissapu